

大気化学反応を駆動する HO_xとNO_xラジカルについて

京都大学大学院
人間・環境学研究科/地球環境学堂

国立環境研究所 地域環境研究センター

梶井 克純

岐阜, Jan. 2016

大気中で重要なラジカル種と役割

成層圏 (15-55 km)

OH , HO_2 , Cl , ClO , Br , BrO : オゾン層破壊

O_3 : オゾン生成

HO_xラジカル

対流圏 (表層-15 km)

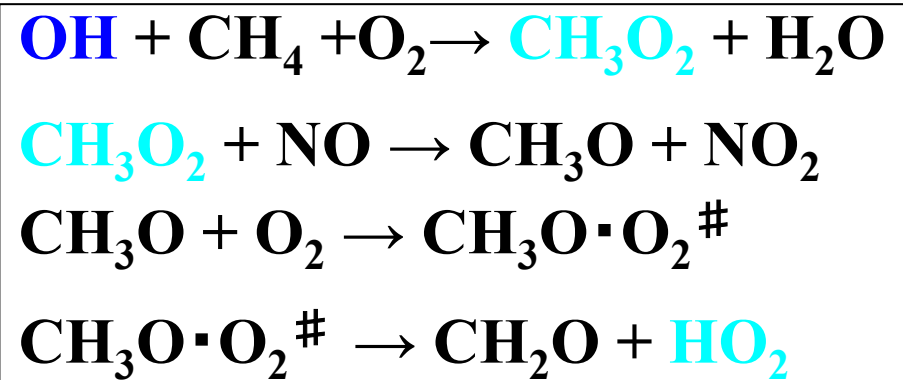
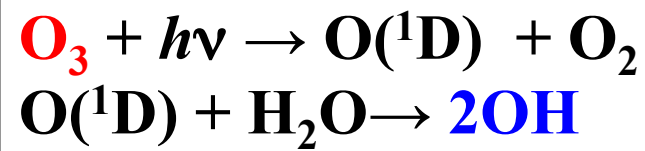
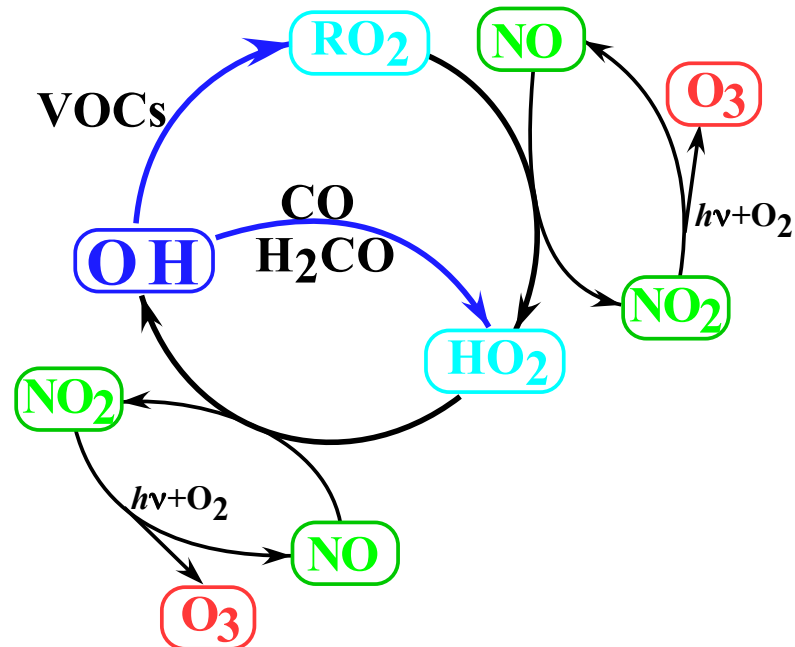
OH : ほとんどの化学物質の除去

HO_2 , RO_2 : オキシダント生成(オゾンを含む)

NO , NO_2 : 有機物(VOC)の触媒的酸化

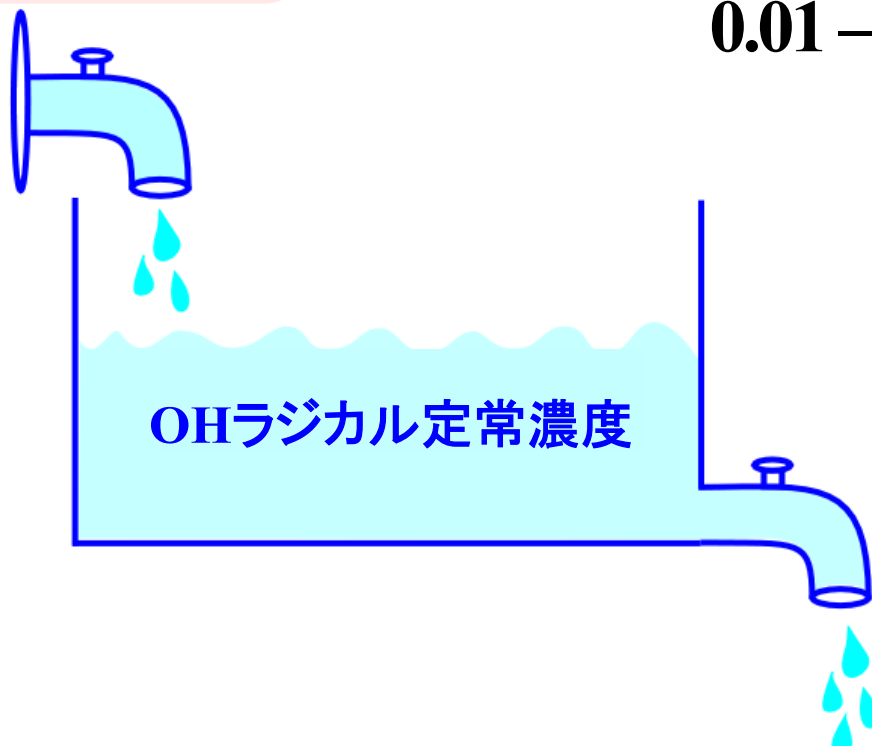
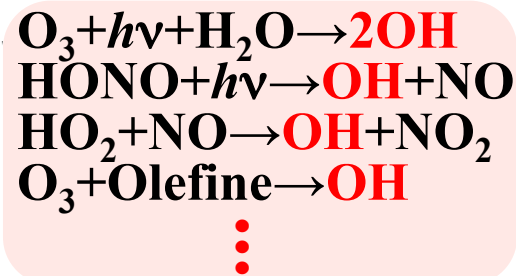
NO_3 : VOCの酸化

HO_xサイクルによるオゾンの光化学的生成機構



OHラジカルの光定常状態

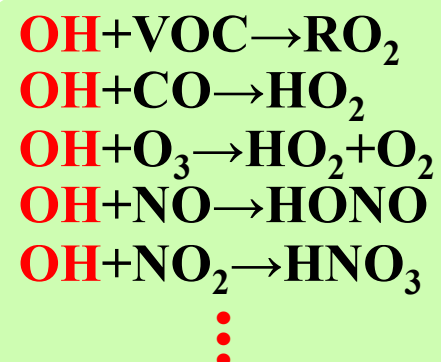
OH生成過程



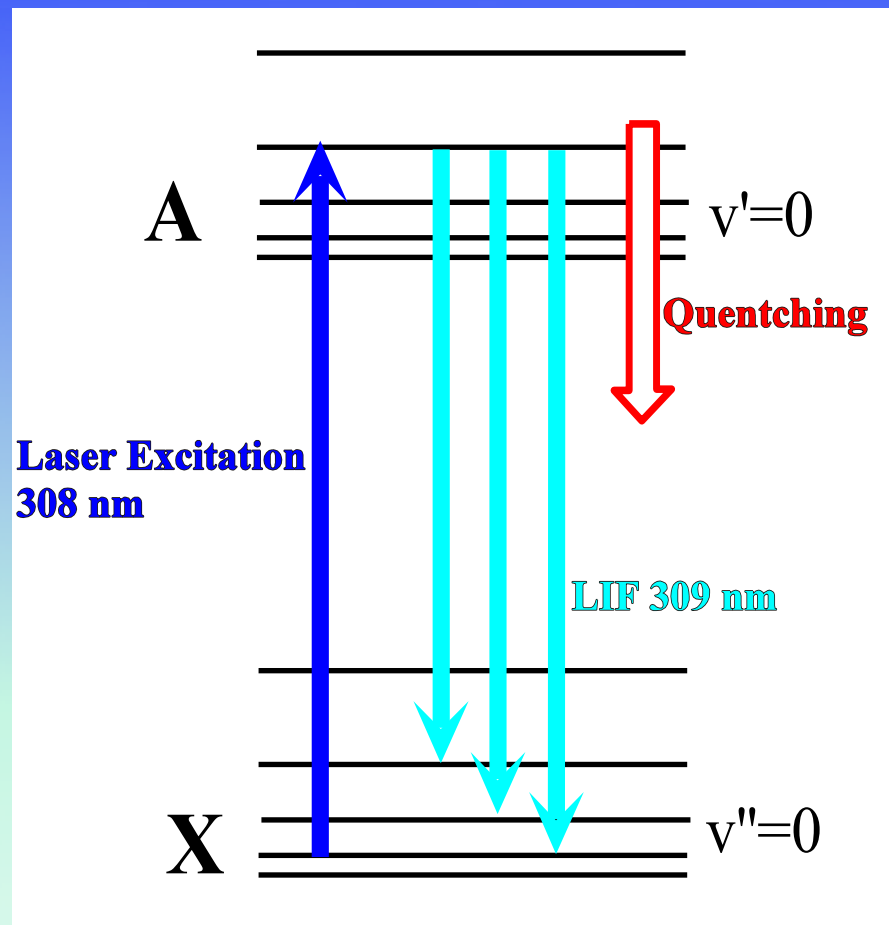
$$[\text{OH}]_{\text{ST}} = 10^5 - 10^6 \text{ (radicals cm}^{-3}\text{)}$$

$$0.01 - 0.1 \text{ (pptv)}$$

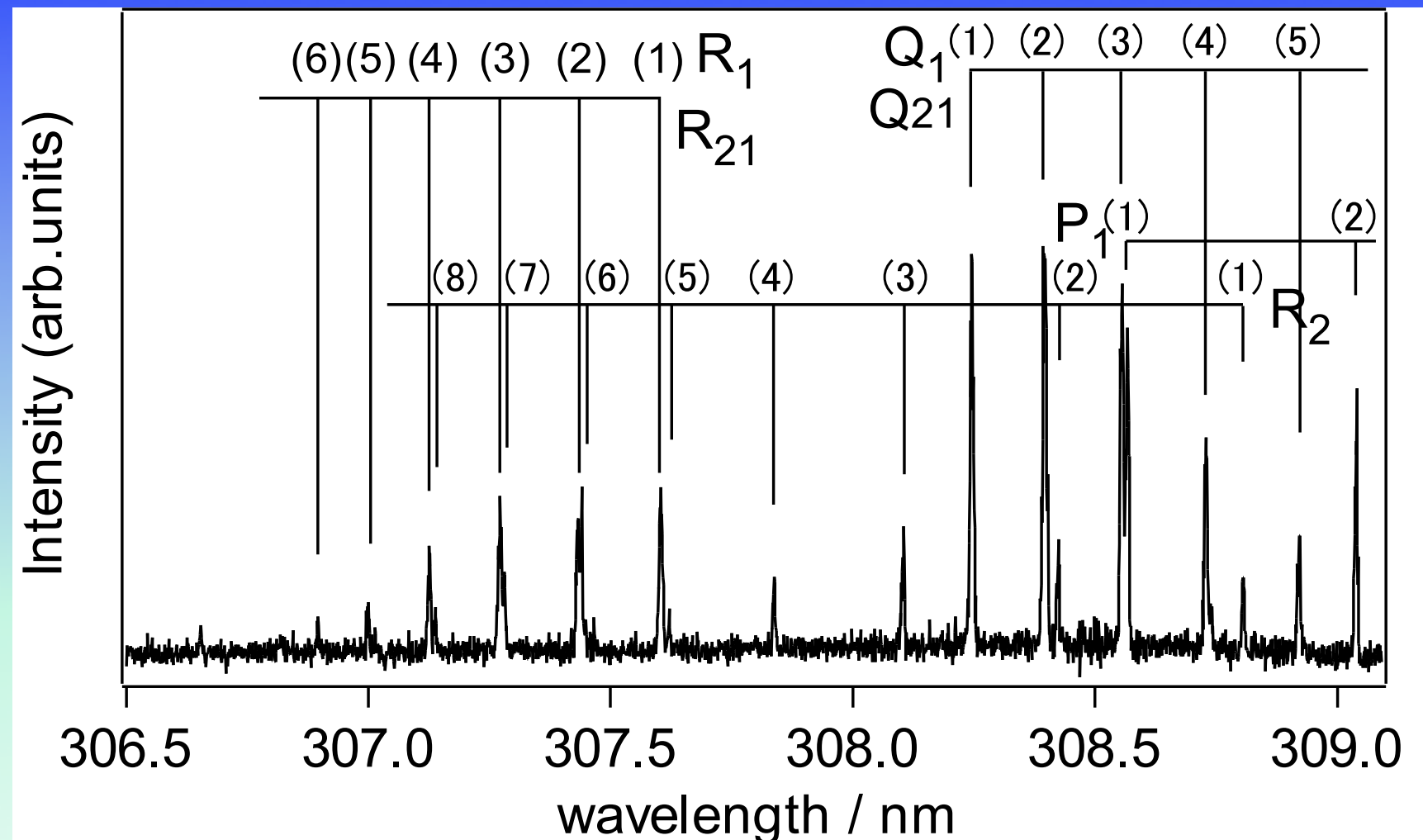
OH消失過程



LIF法によるOHラジカルの検出



OHラジカルのLIFスペクトル



検出下限値の見積もり

$$LOD \approx (S/N) \left(\frac{1}{m} + \frac{1}{n} \right)^{1/2} \frac{1}{S_{OH}} \left(\frac{S_{BG}}{I \cdot dt} \right)^{1/2}$$

S/N : signal-to-noise ratio

m, n : numbers of measurement for sample and zero point

dt : integration interval (s)

S_{BG} : sensitivity of background normalized by laser intensity

現状での性能

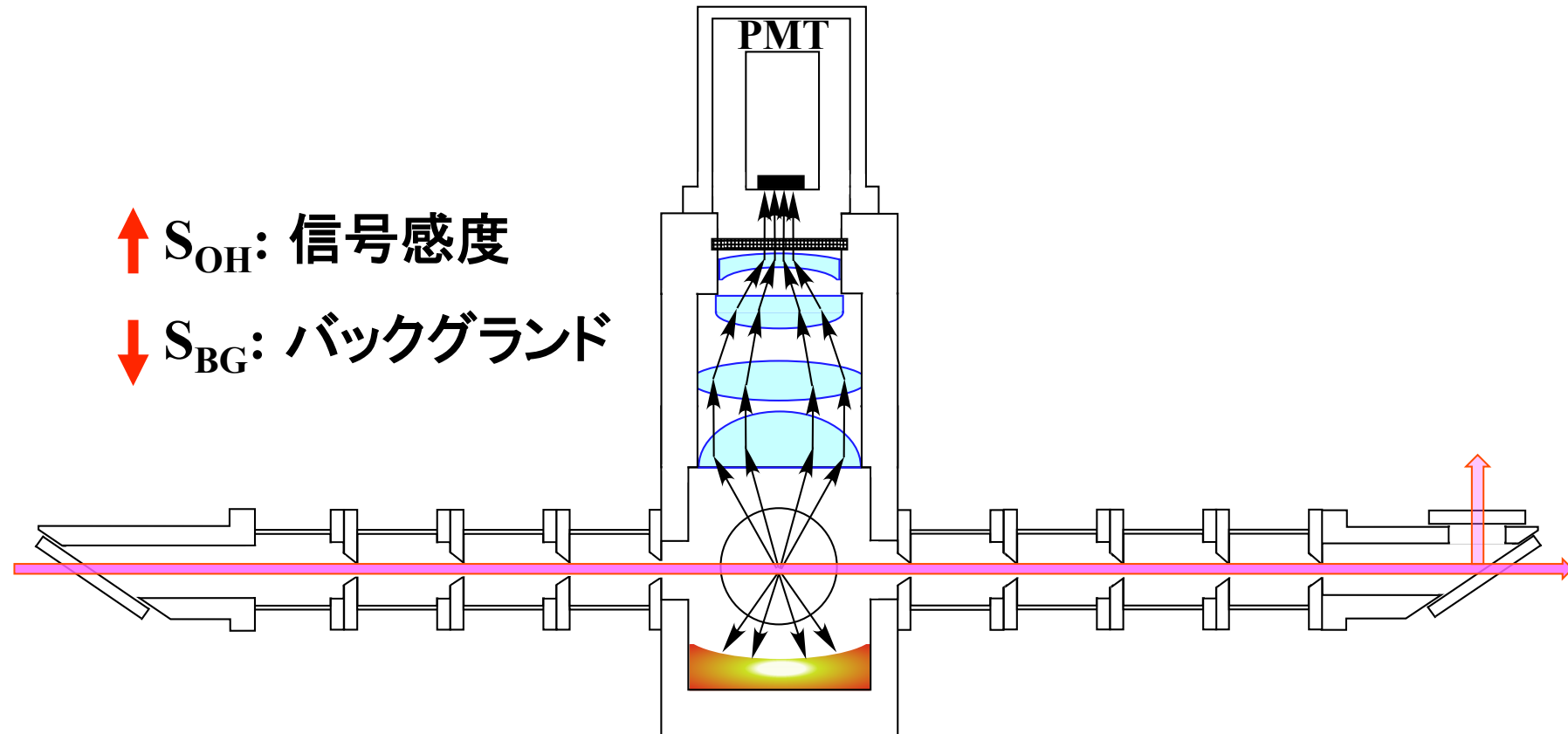
$LOD = 2 \times 10^5$ radicals cm⁻³ (~ 0.01 ppt)

@ $S/N = 2$

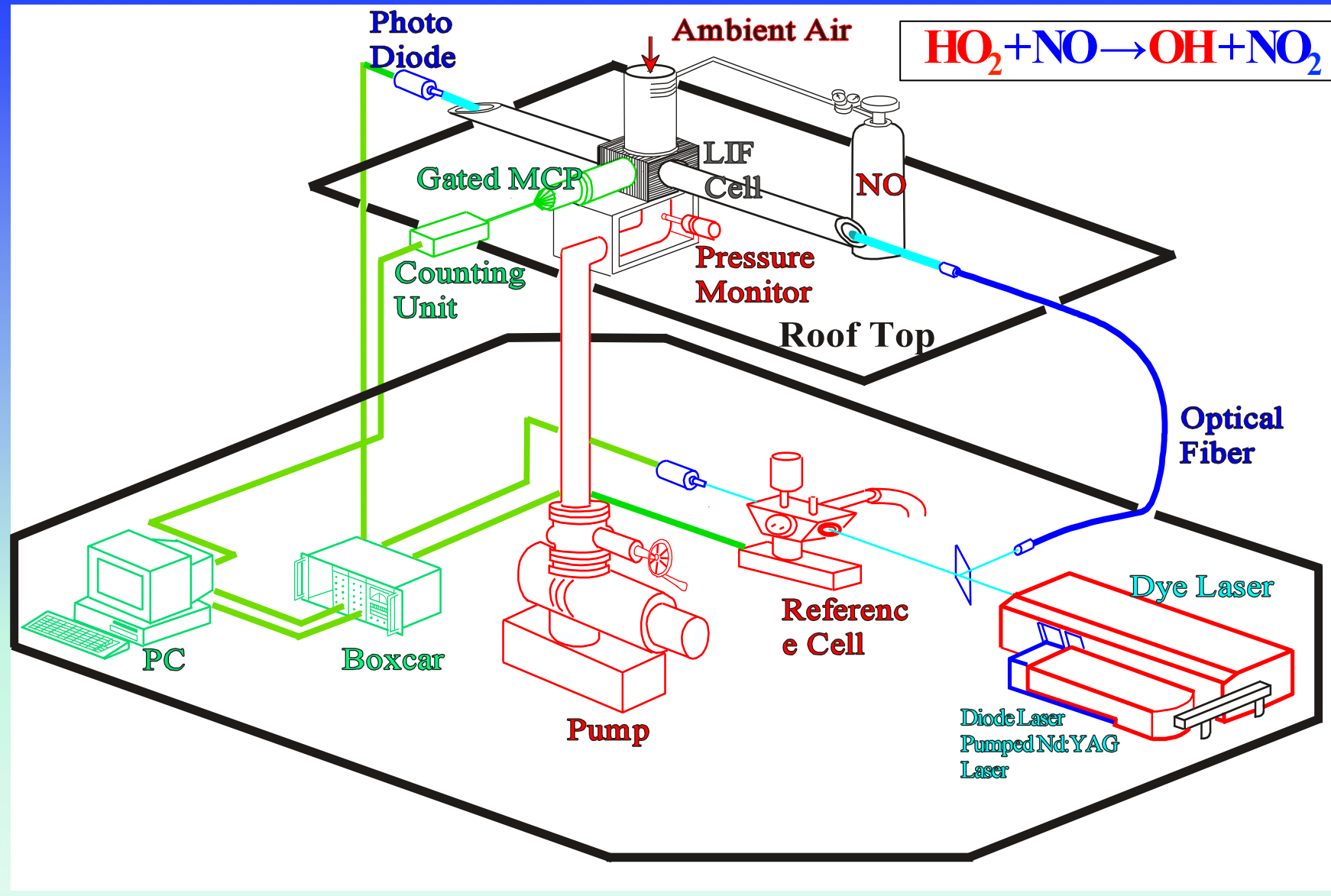
@ $dt = 1$ 分

OHラジカル計測用超高感度LIFセル

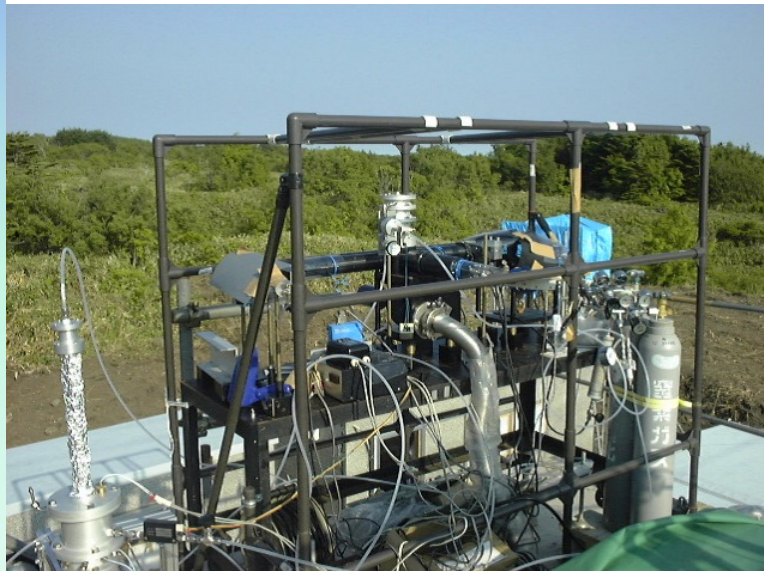
↑ S_{OH} : 信号感度
↓ S_{BG} : バックグラウンド



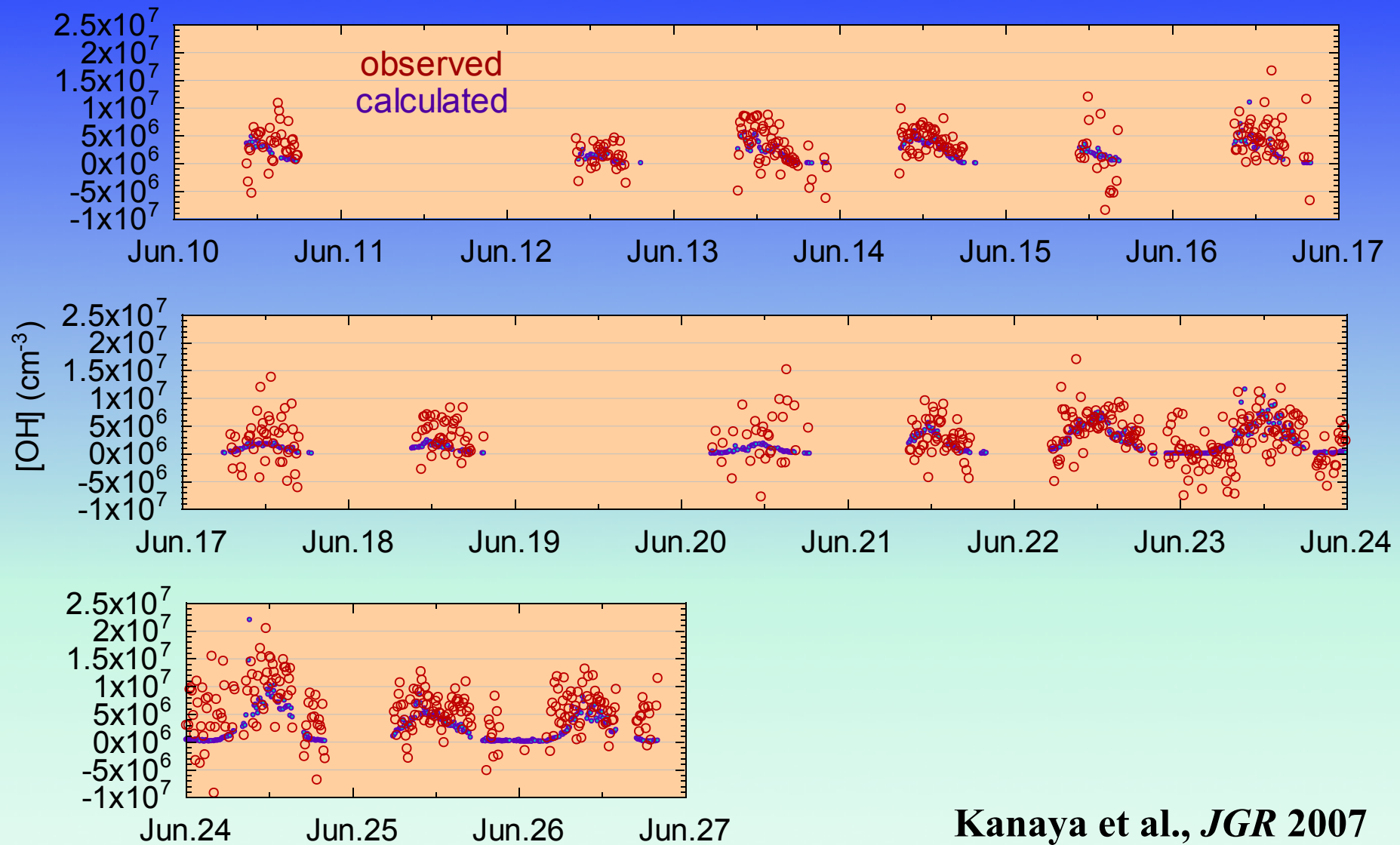
HO_xラジカルシステム



北海道利尻島における野外観測



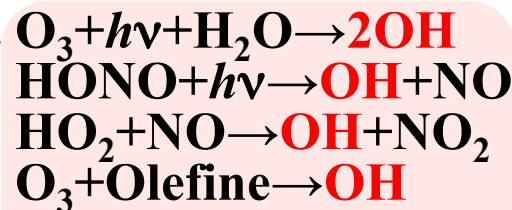
利尻島におけるOH濃度観測結果



Kanaya et al., JGR 2007

OHラジカルの光定常状態

OH生成過程:P



⋮



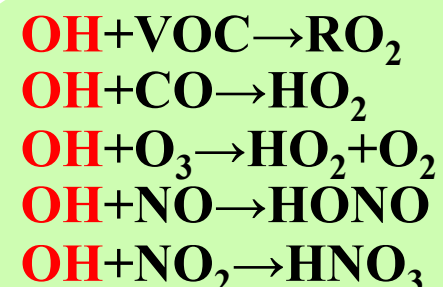
OHラジカル定常濃度

$$\frac{d[OH]}{dt} = p - k[OH] = 0$$

$$[OH] = \frac{p}{k}$$

OHの反応相手は
500種類以上

OH消失過程:k



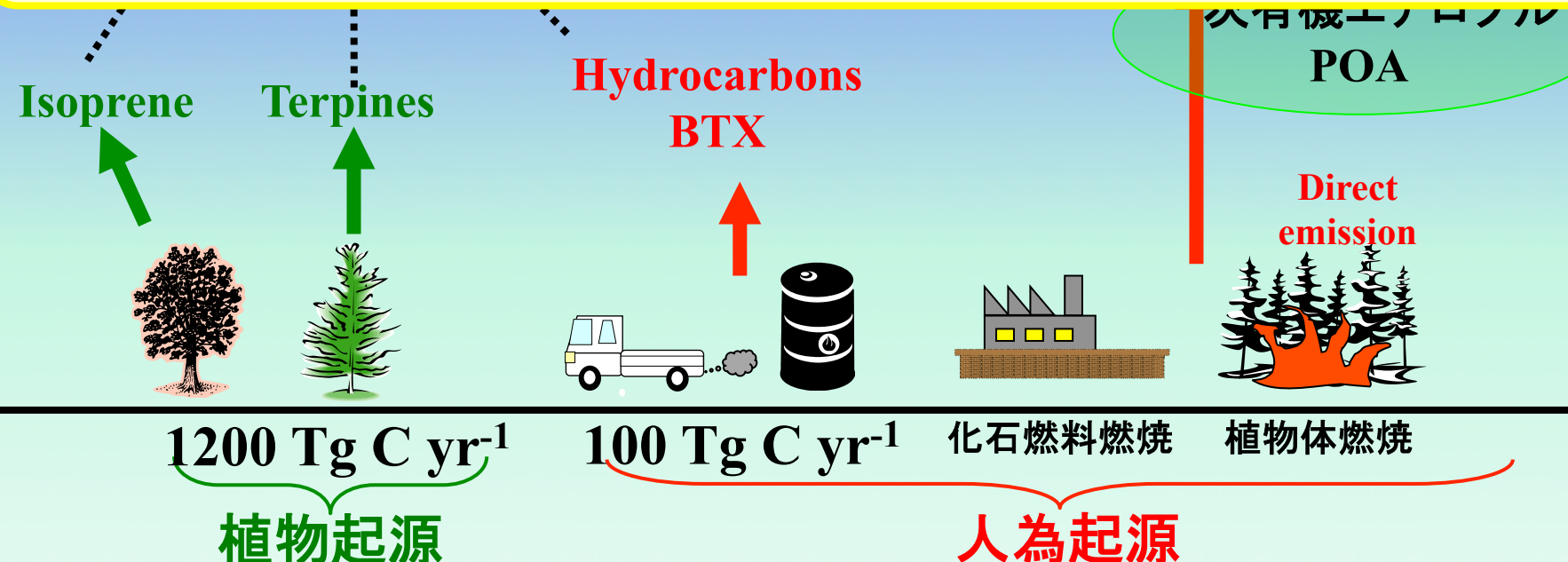
⋮

大気中のVOCsの発生源と役割

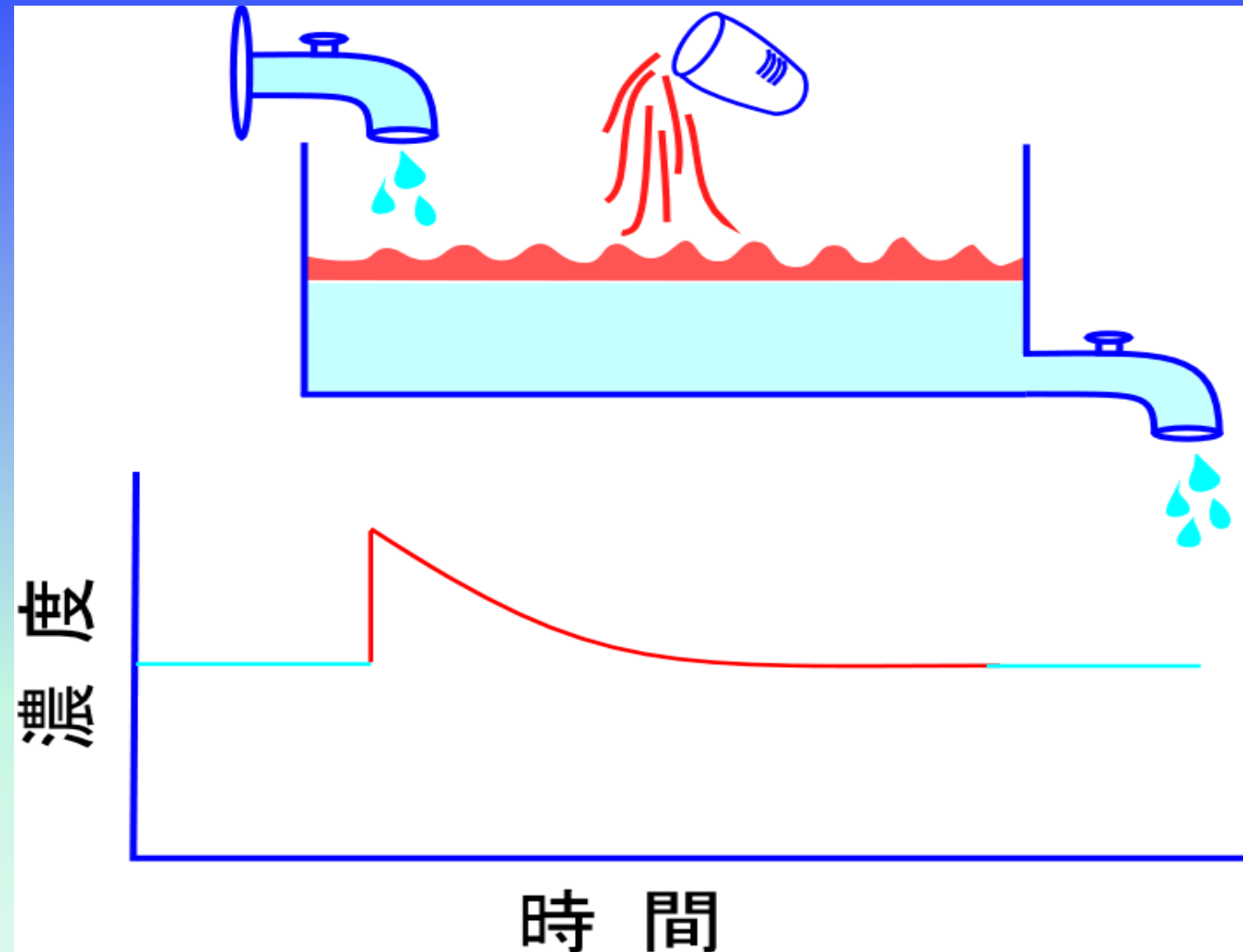
オキシダント
(ozone, PAN etc)

二次有機エアロゾル
SOA

大気中には**500 – 2000 種類のVOCs** が存在する!

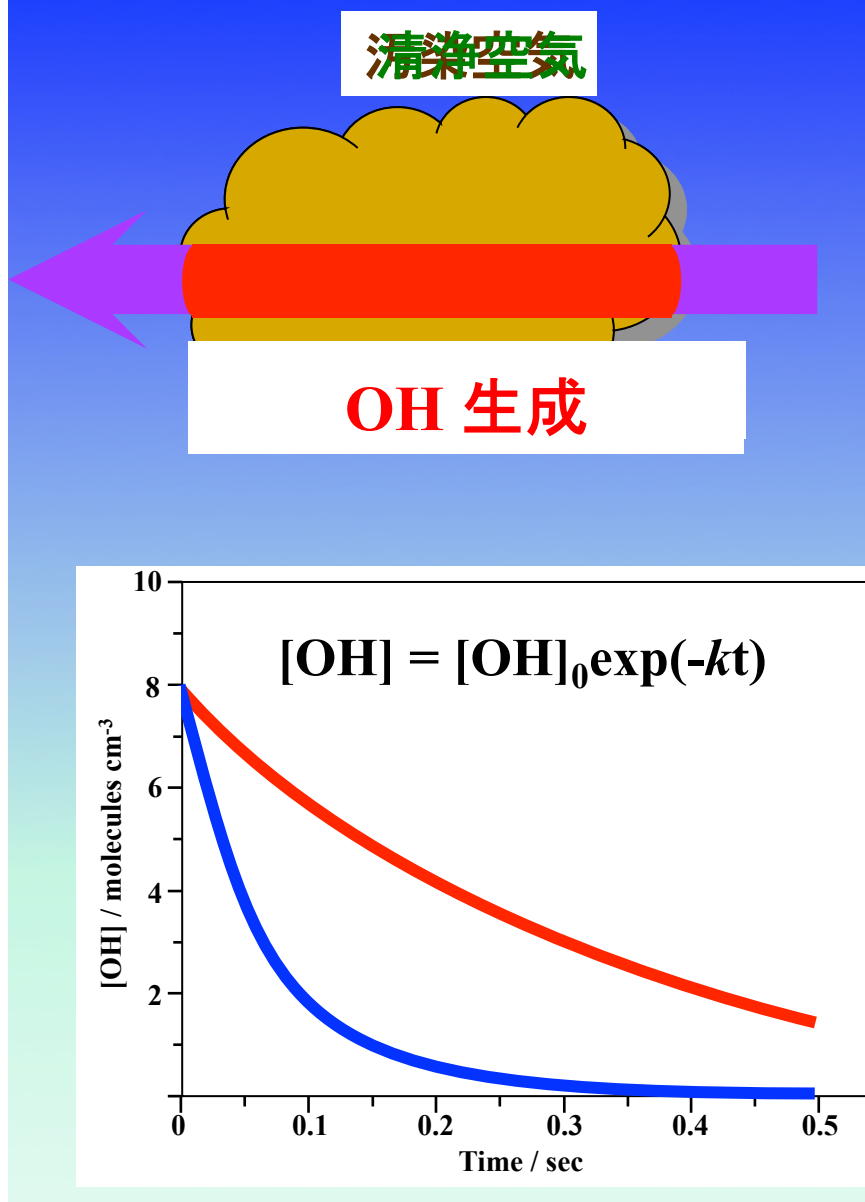


化学摂動法によるOH消失過程の検出



梶井, CREST終了報告書, 2004

OH反応性測定による大気質の診断



レーザー照射によるOH 生成

LIFによるOH 減衰の計測 (k_{obs})

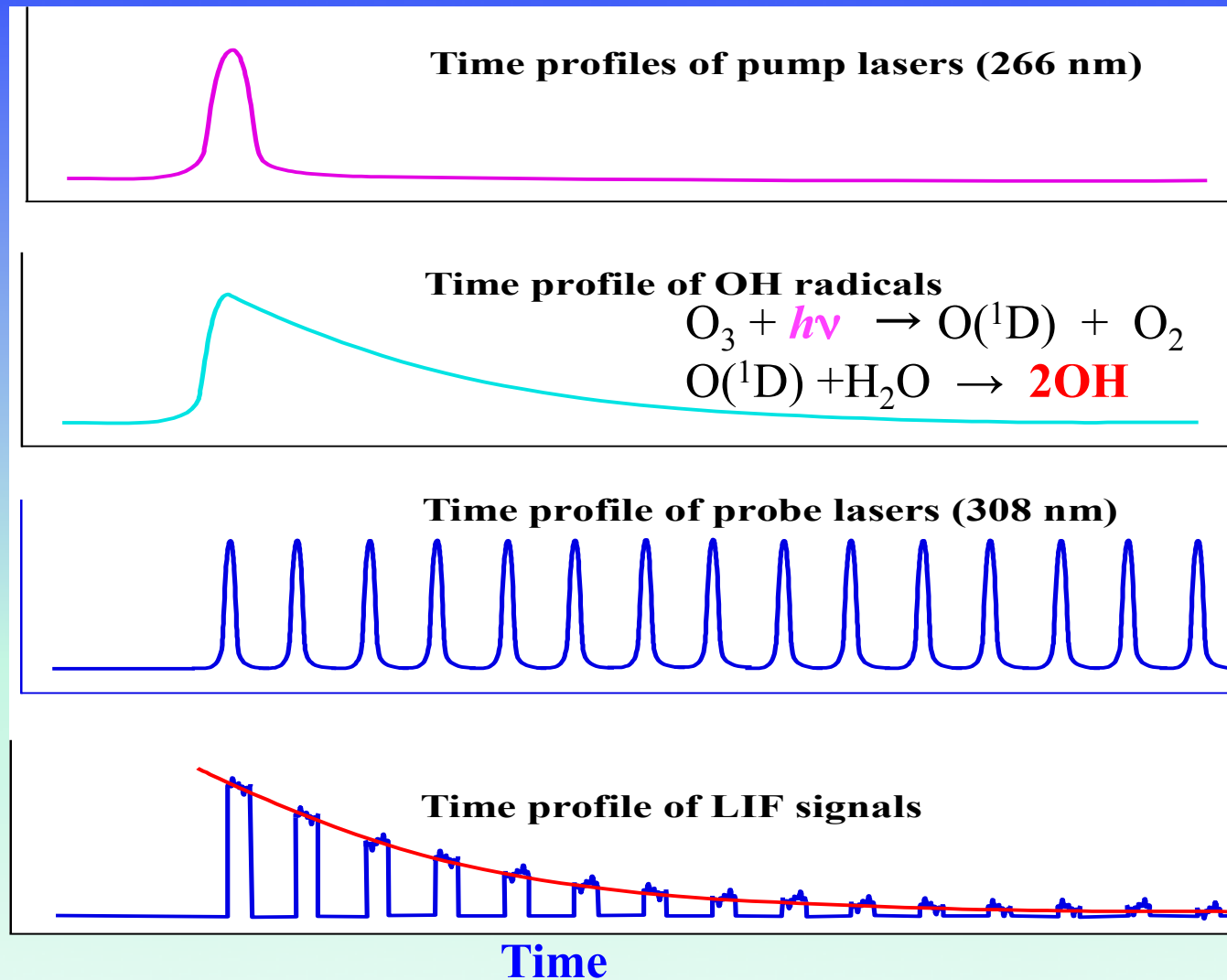
同時化学成分測定からOH反応性推定 k

$$k_{cal} = \sum k_i [N_i]$$

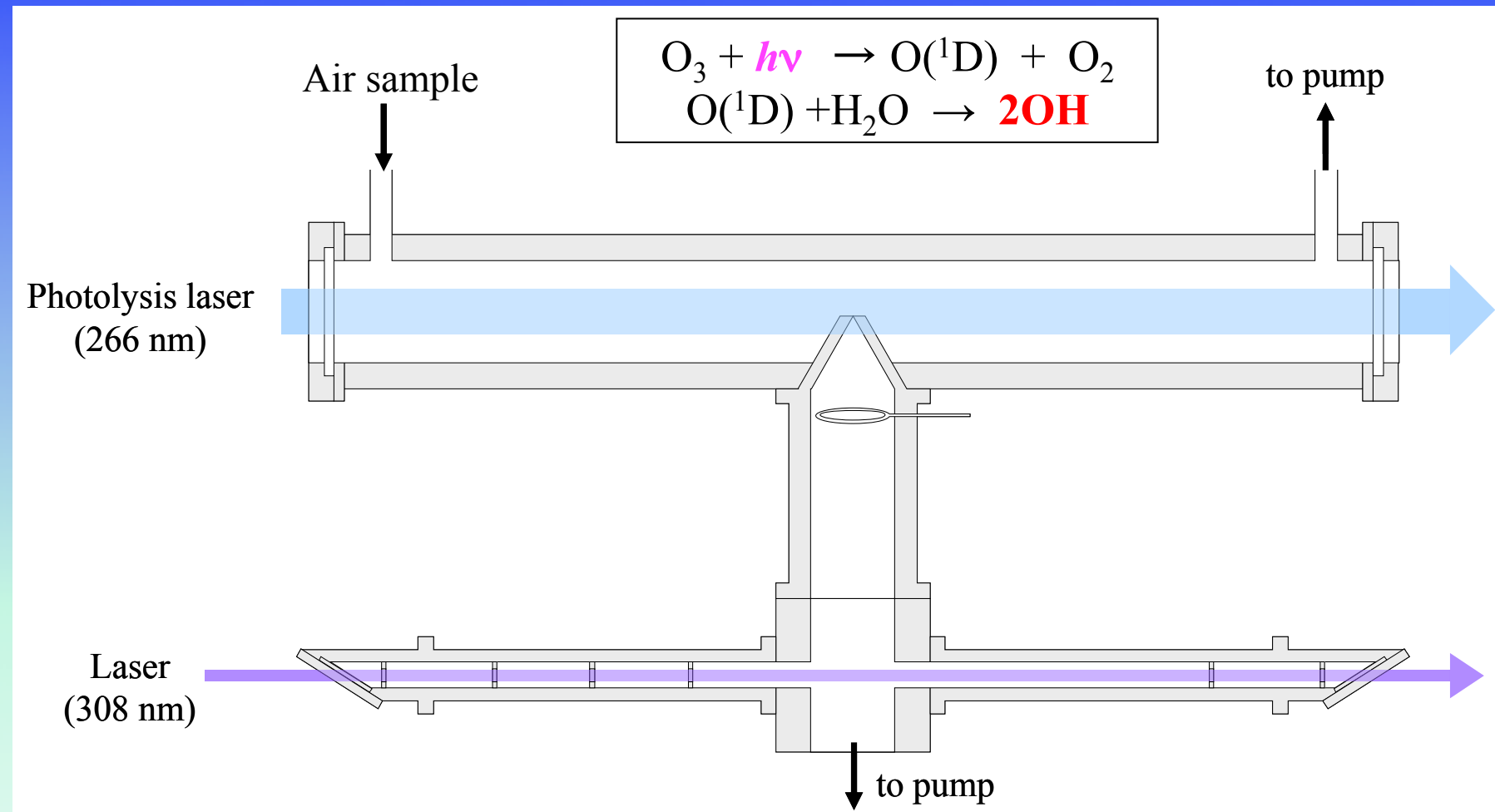
(N_i : CH₄, CO, NOx, VOC etc...)

$$\Delta = k_{obs} - k_{cal}$$

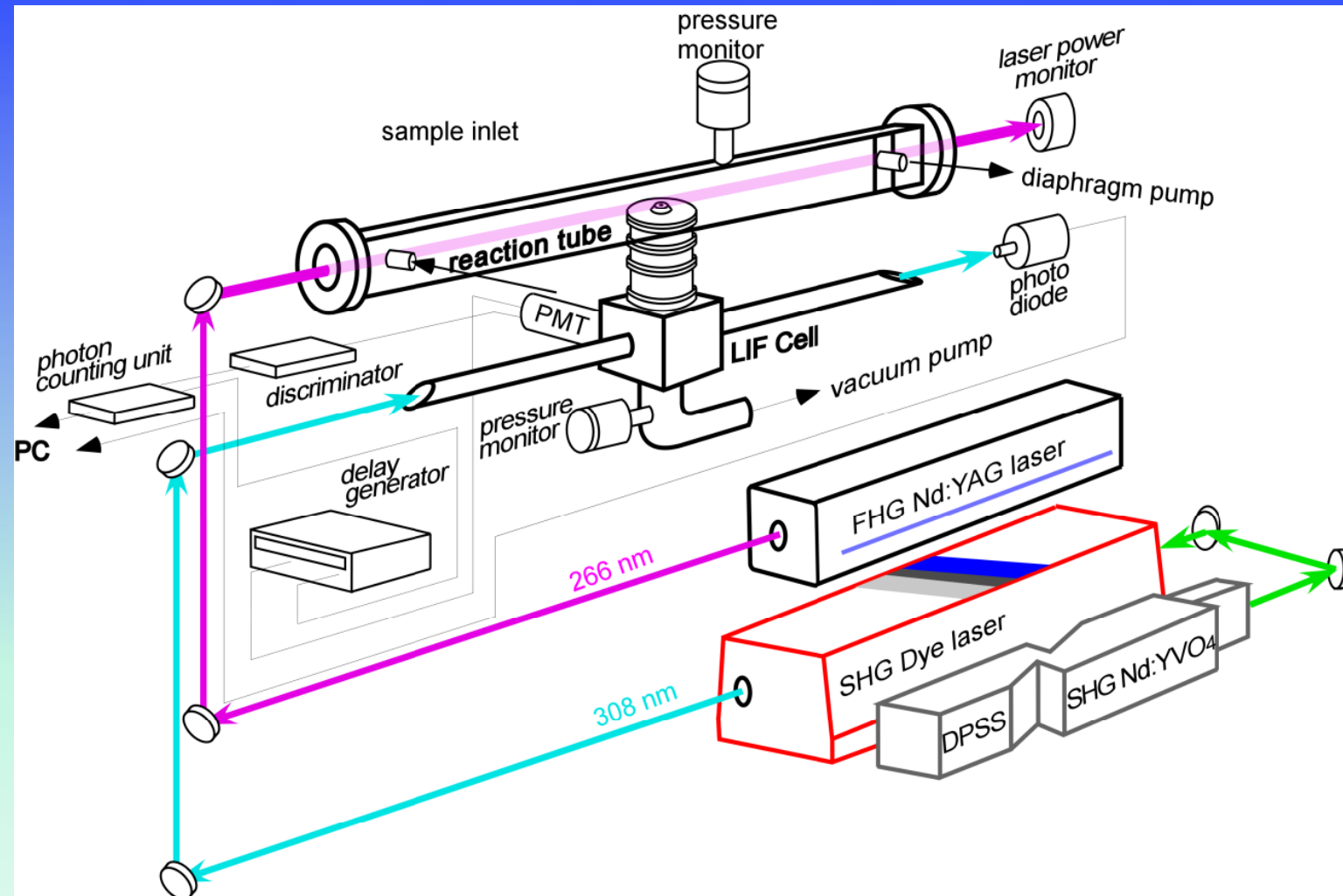
ポンプ・プローブ法によるOH反応性(k)測定原理



ポンプ・プローブ法によるOH反応性測定セル

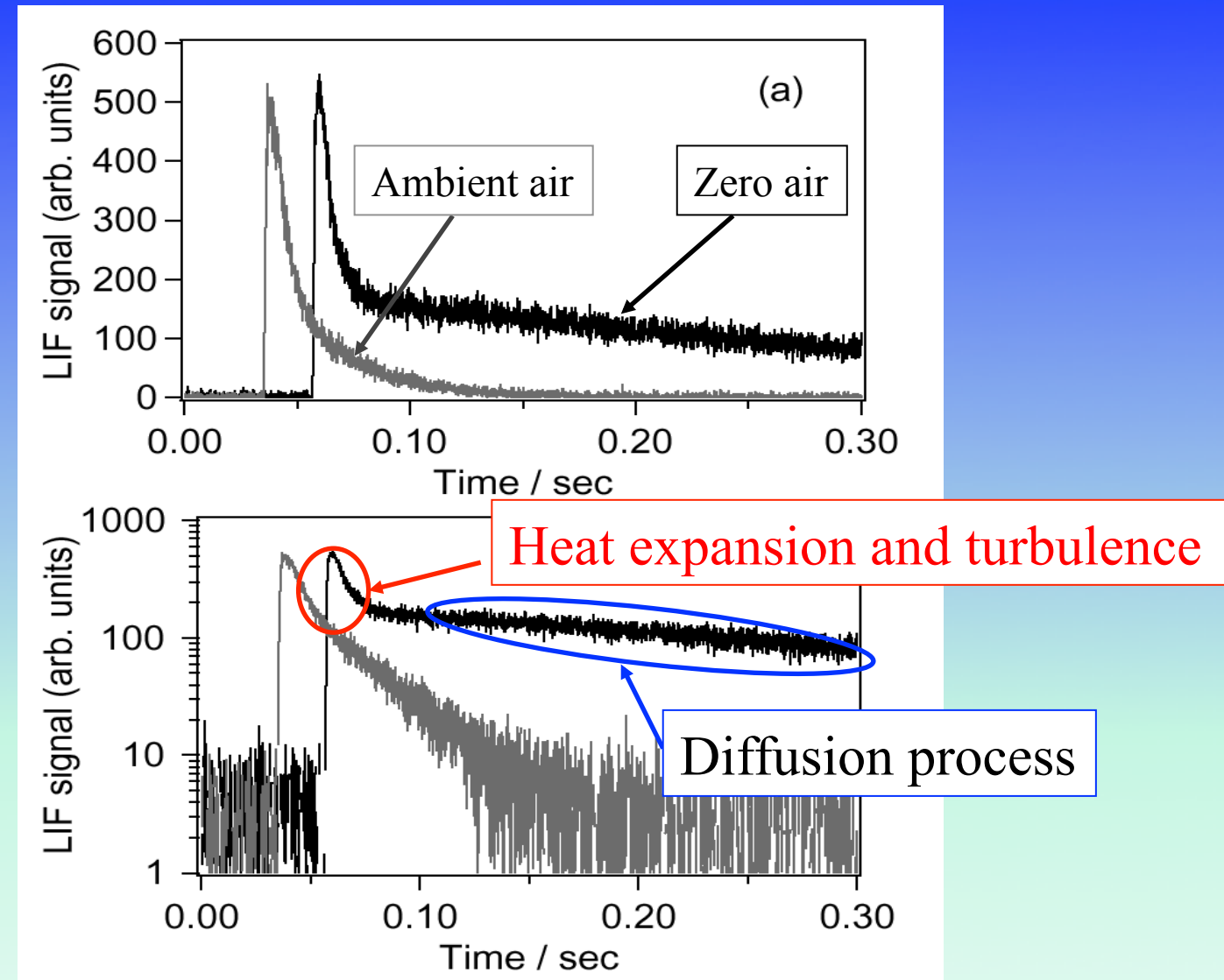


ポンプ・プローブ法によるOH反応性測定測定システム

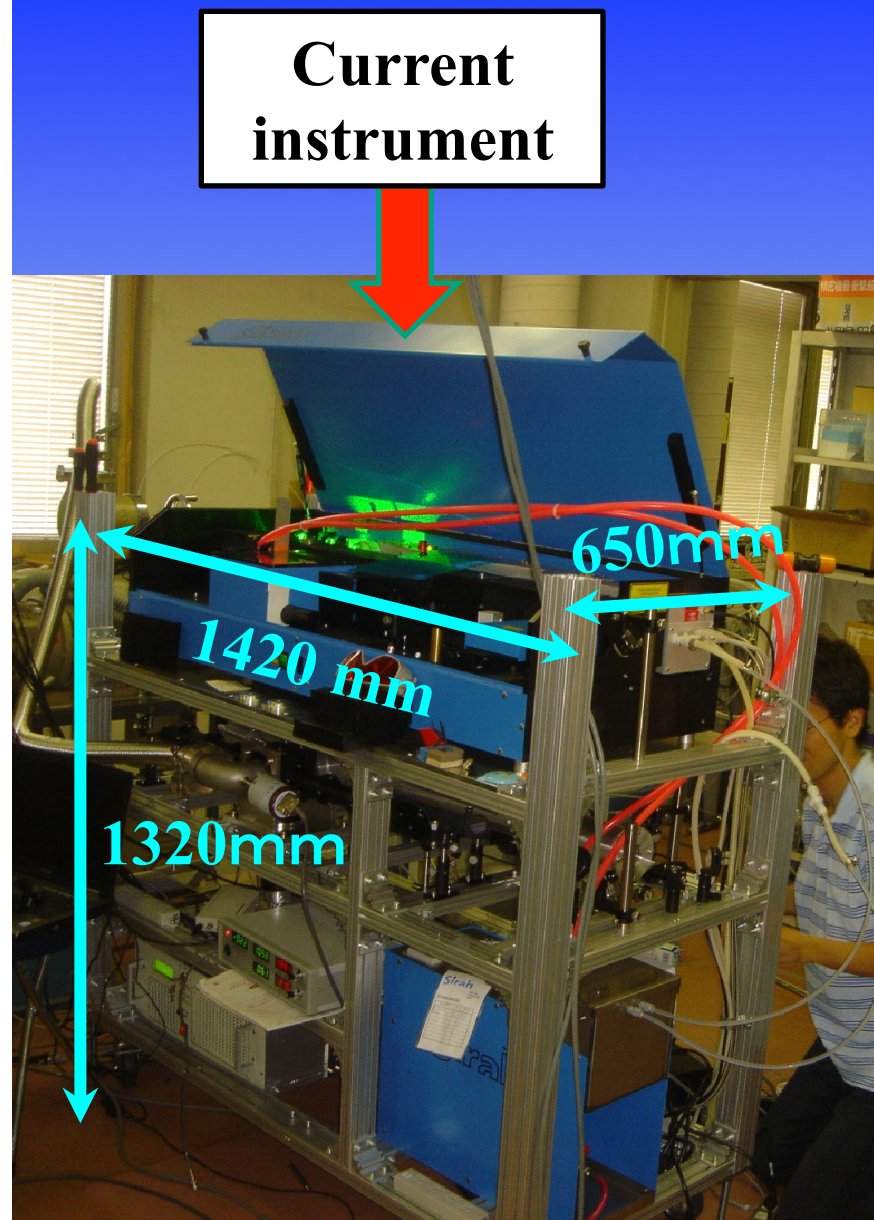


Sadanaga et al., RSI 2004

典型的なOH radicalsの減衰



OH反応性測定測定システムの写真



Previous
instrument

同時計測したOHと反応する化学物質

/OH reactivity Pump&probe LIF

/ozone UV absorption

/CO NDIR

/NO chemiluminescence

/NO₂ LIF

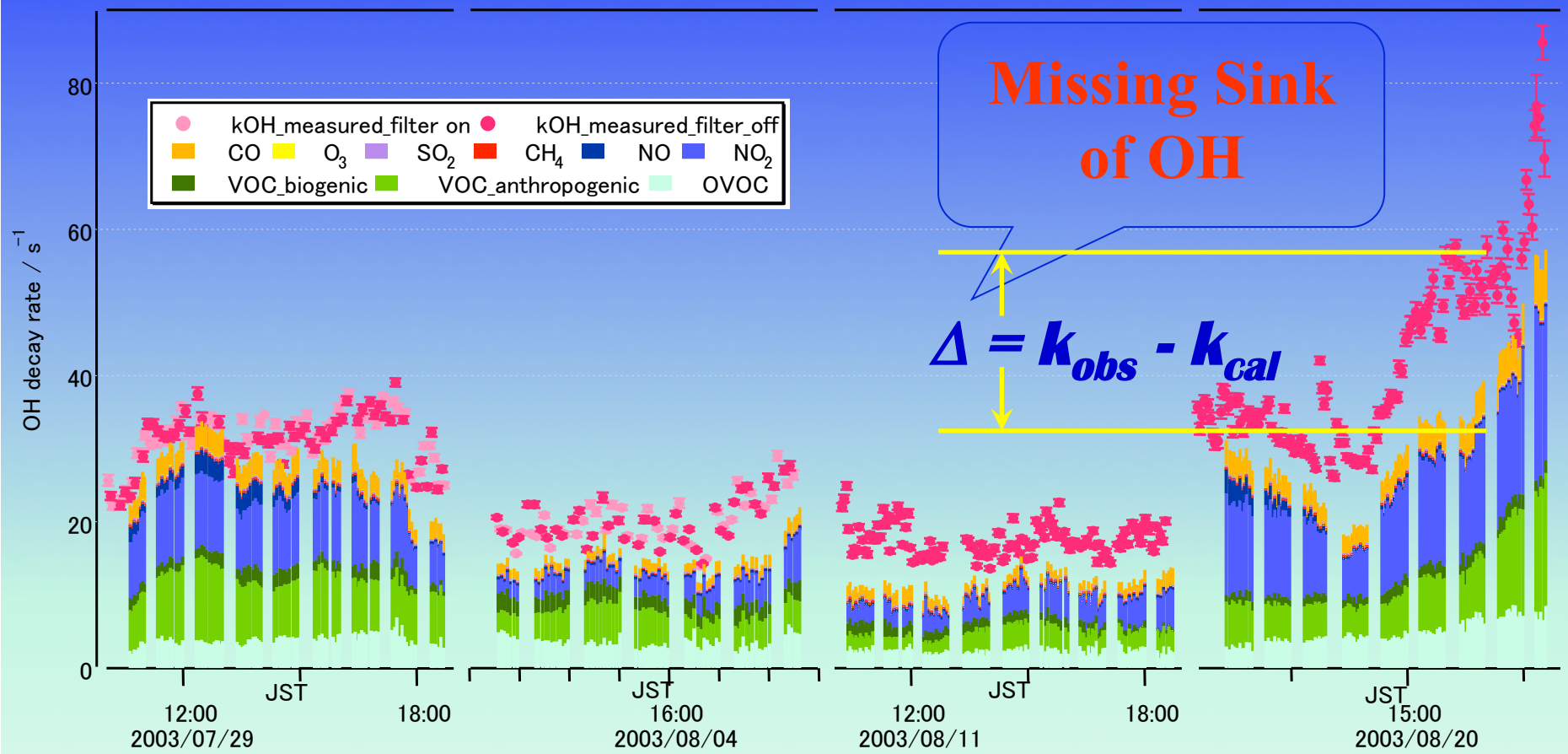
/SO₂ pulsed fluorescence

/HCs GC-FID, GC-MS

/OVOCs PTR-MS

110 kinds of chemical species were
simultaneously measured.

各化学成分のOH反応性に対する寄与



Yoshino et al., AE 2006

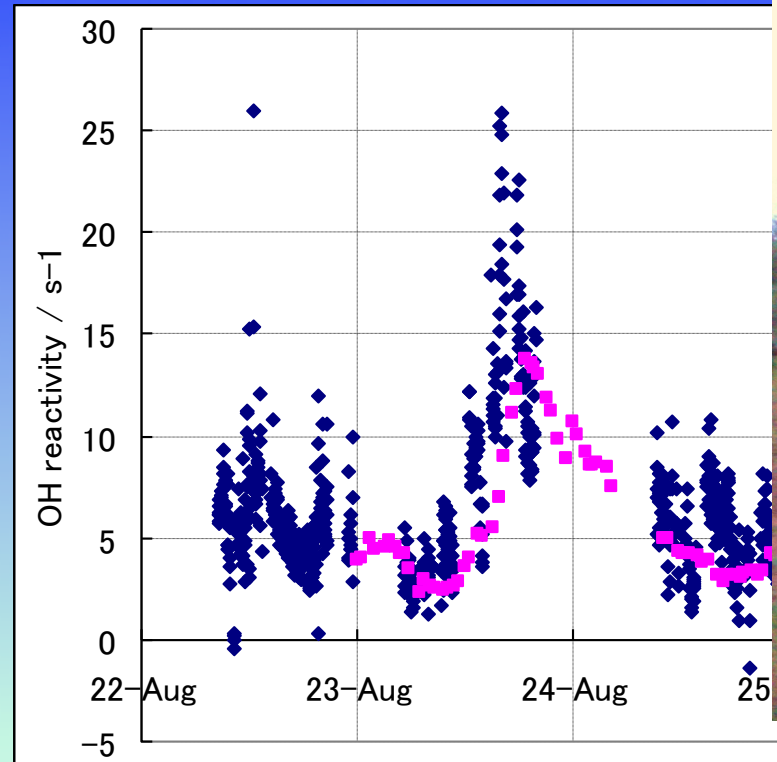
BEACHON-ROCS 2010

(Rocky Mountain Organic Carbon Study)



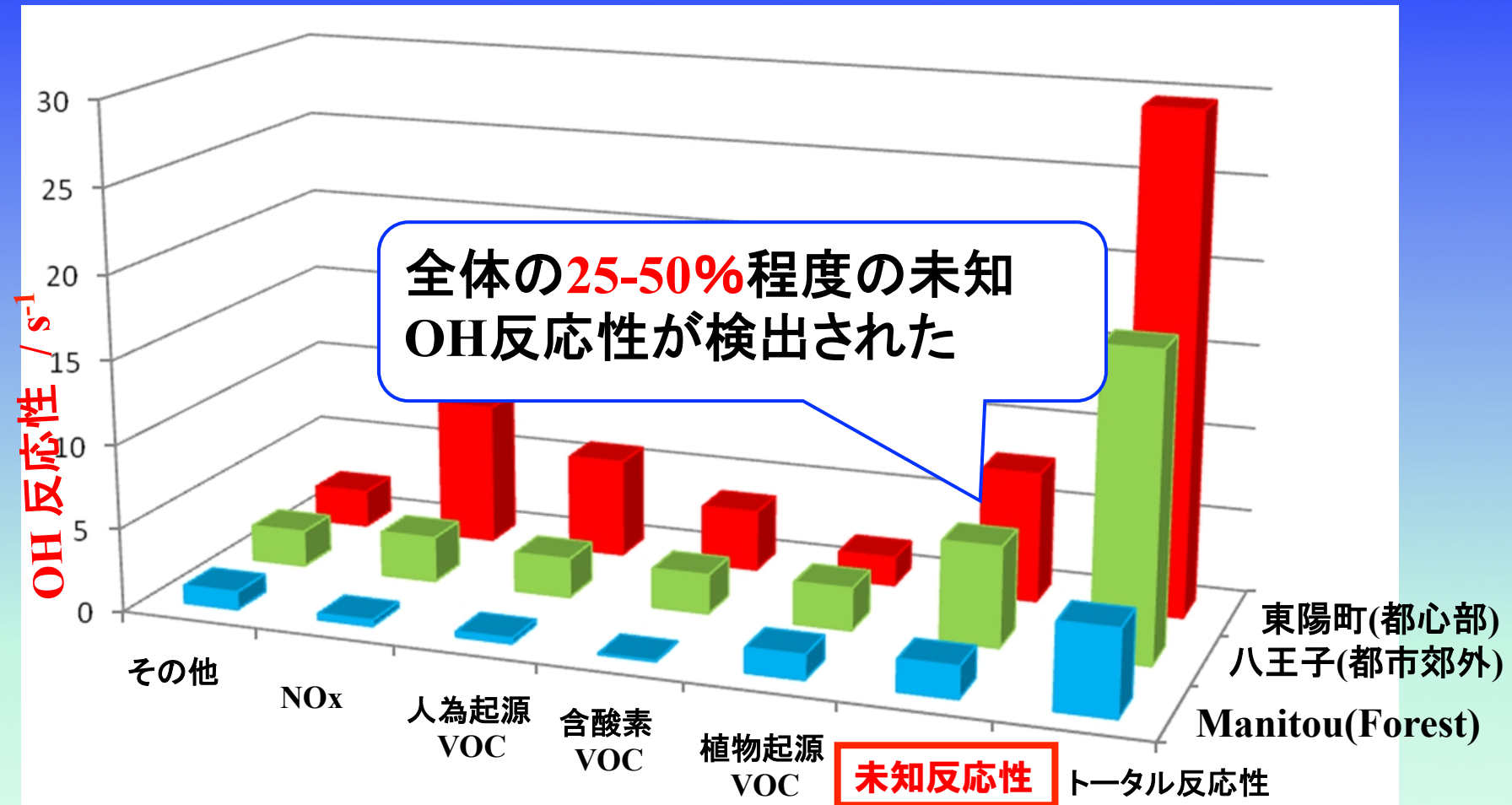
**NCAR, Tokyo Met. Univ.
Univ. Wisconsin, SUNY
Univ. Houston, Univ. Innsbruck**

BEACHON- 2008 Aug. 22th – 28th



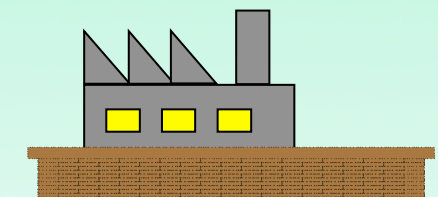
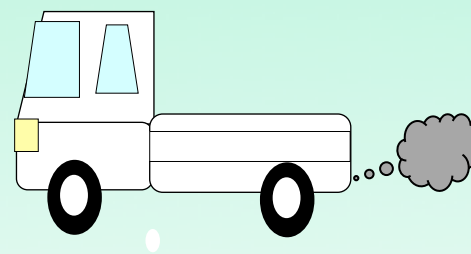
- In Aug. 23rd, tornado brought bursting of VOCs.
- In Aug. 28, MBO increased in night time.

OH反応性の地域特性とその内訳

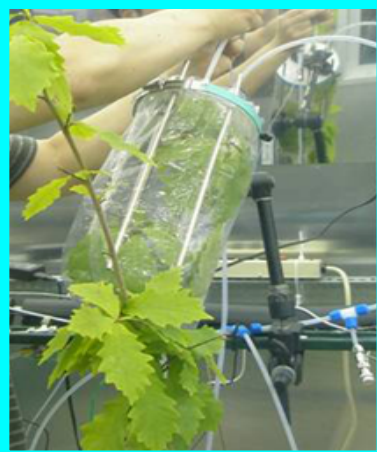


考えられる未知反応性物質

大気中での2次的な生成物



植物チャンバー
NCAR(USA)



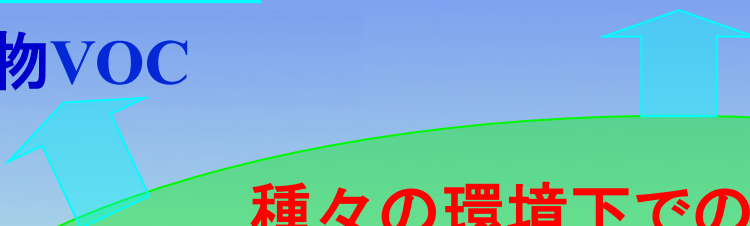
スモッグチャンバー
NIES (Tsukuba)



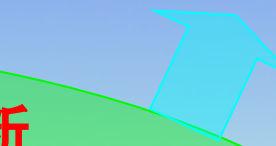
シャシダイナモ
TMR/NIES



植物VOC



自動車排気ガス



種々の環境下での大気質診断



NO_x-LIF



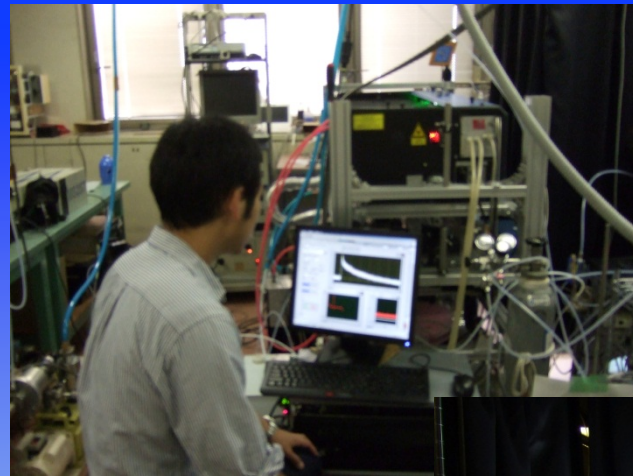
OH reactivity



GC Analysis

京都大 大気化学グループ

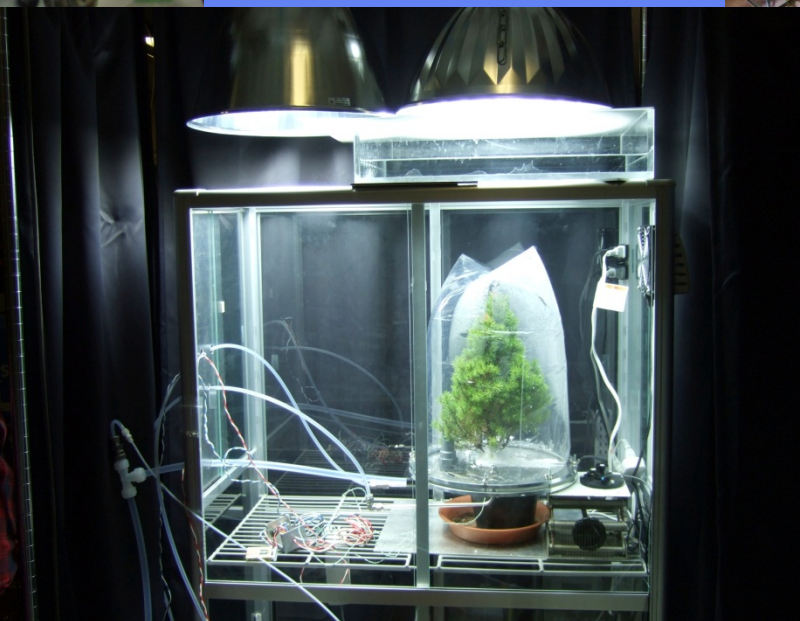
OH reactivity



Fast GC FID



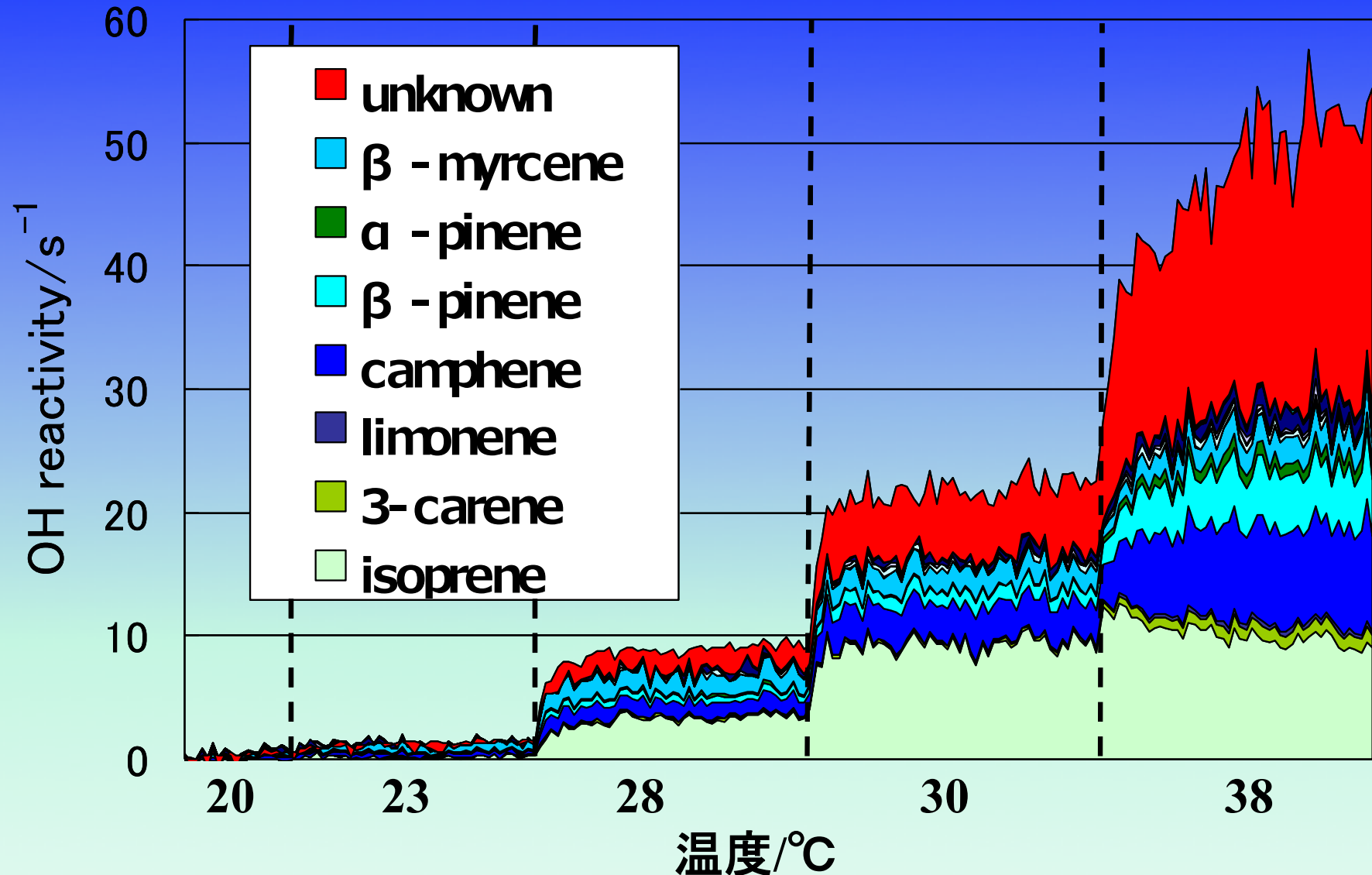
Ozone reactivity



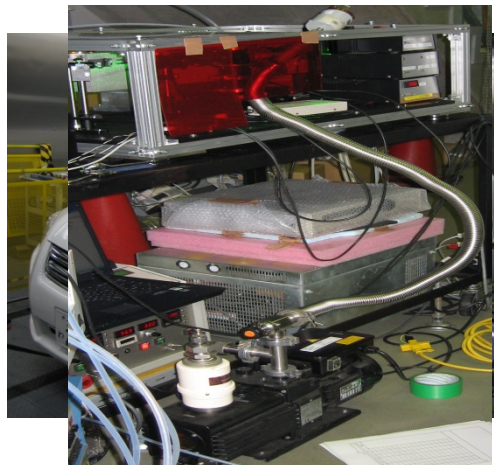
PTR-MS



各BVOCのOH反応性における寄与



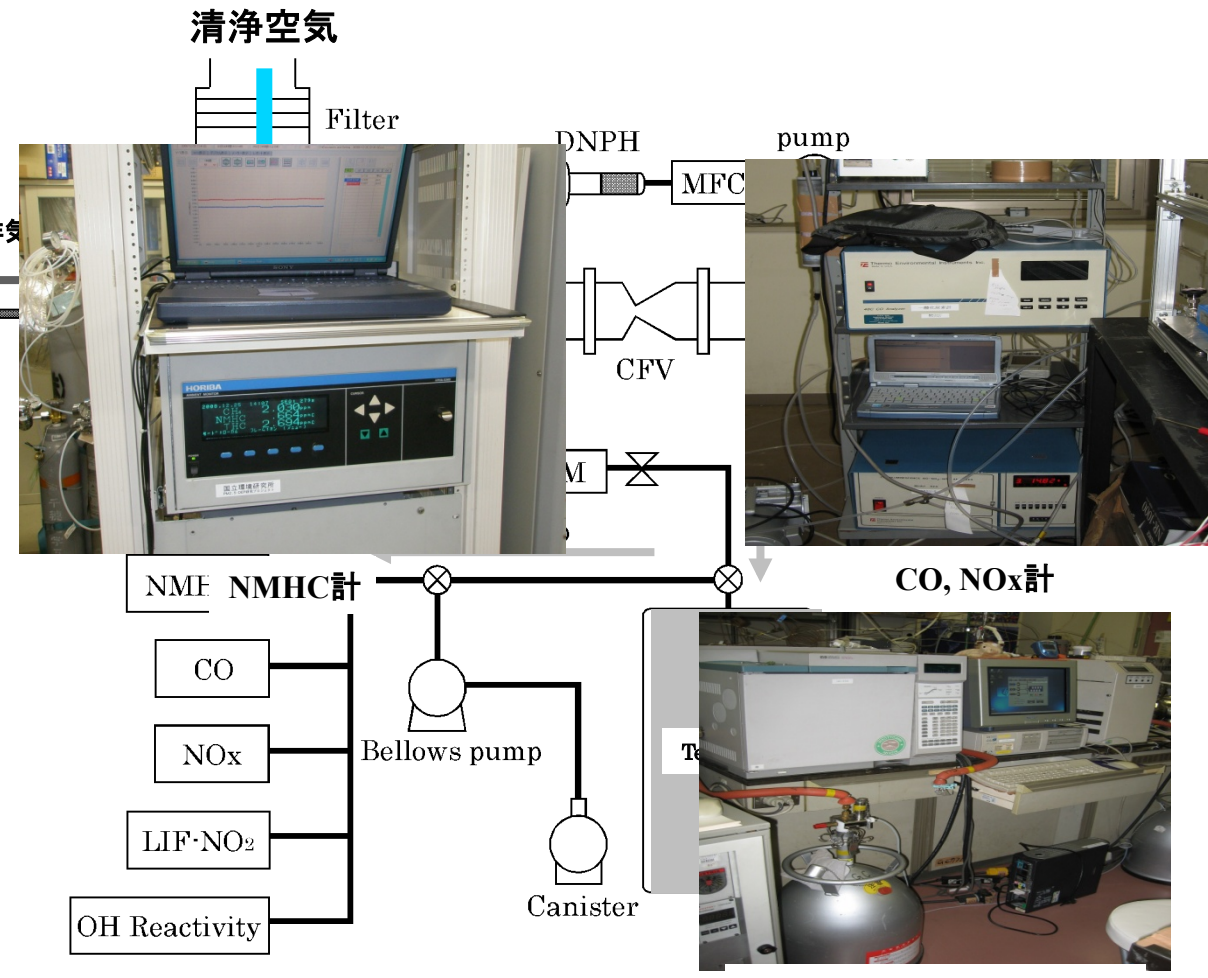
自動車排ガス測定装置の概略



NO_x-LIF

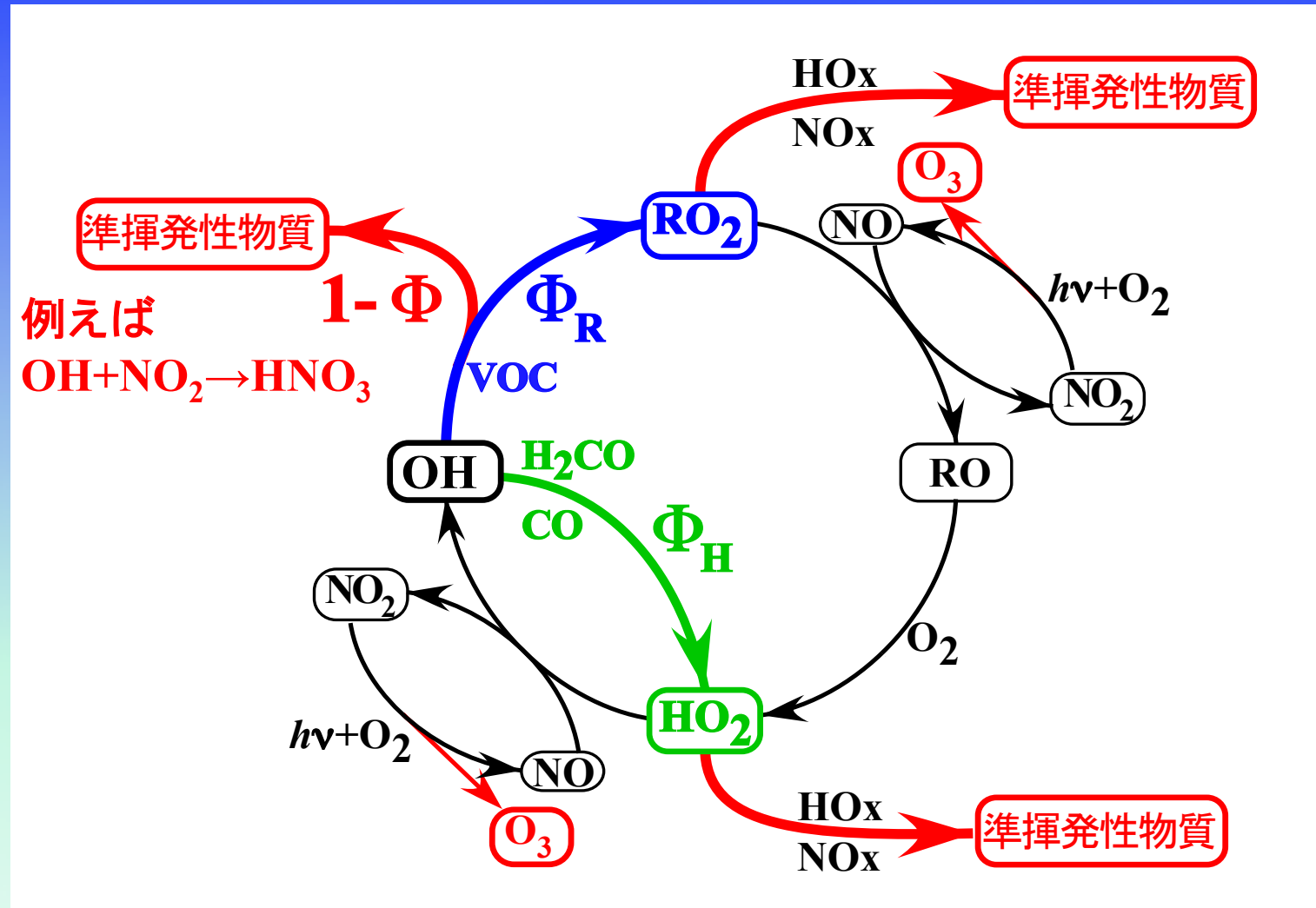


OH反応性(OH reactivity)

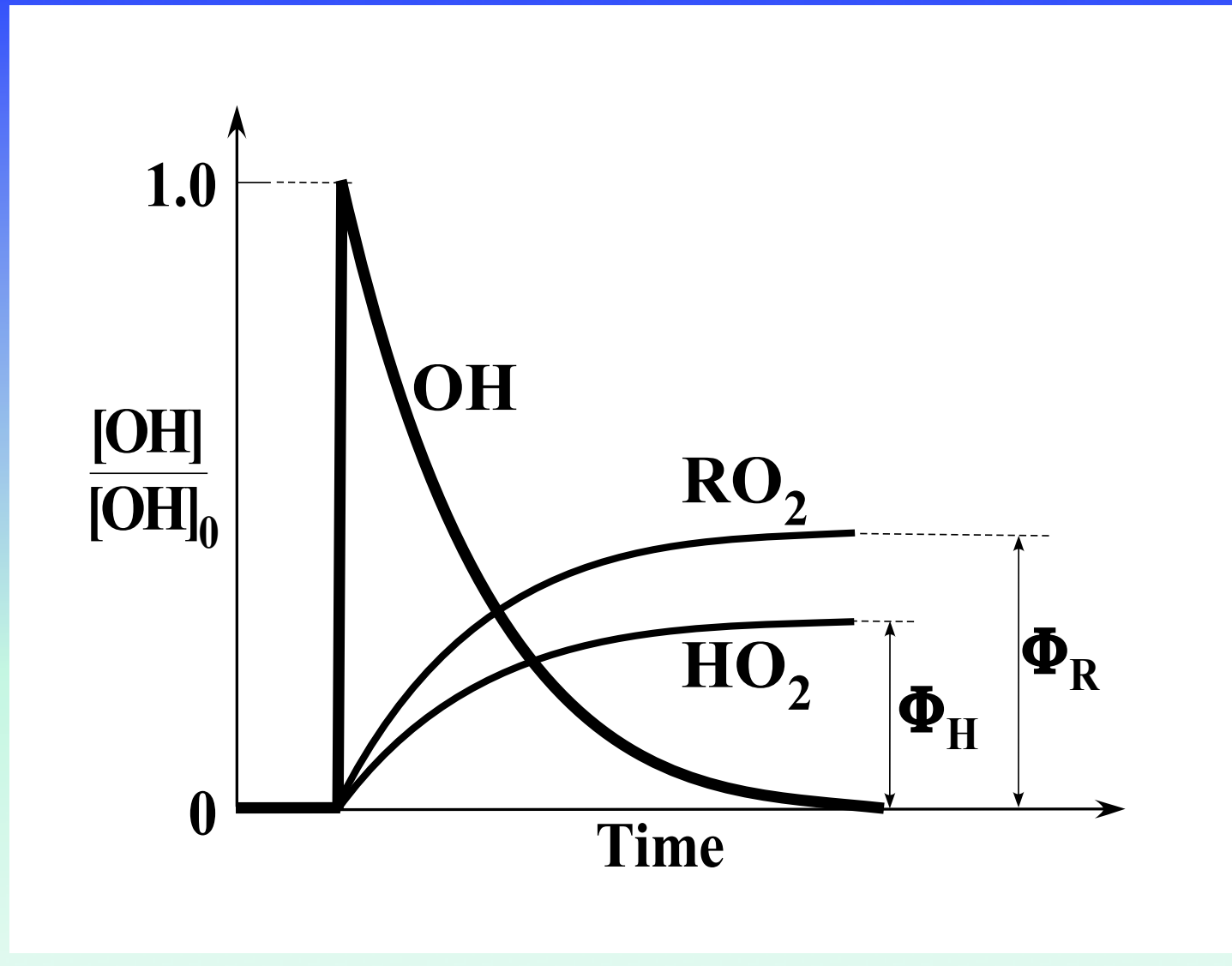


Nakashima et al., AE 2010

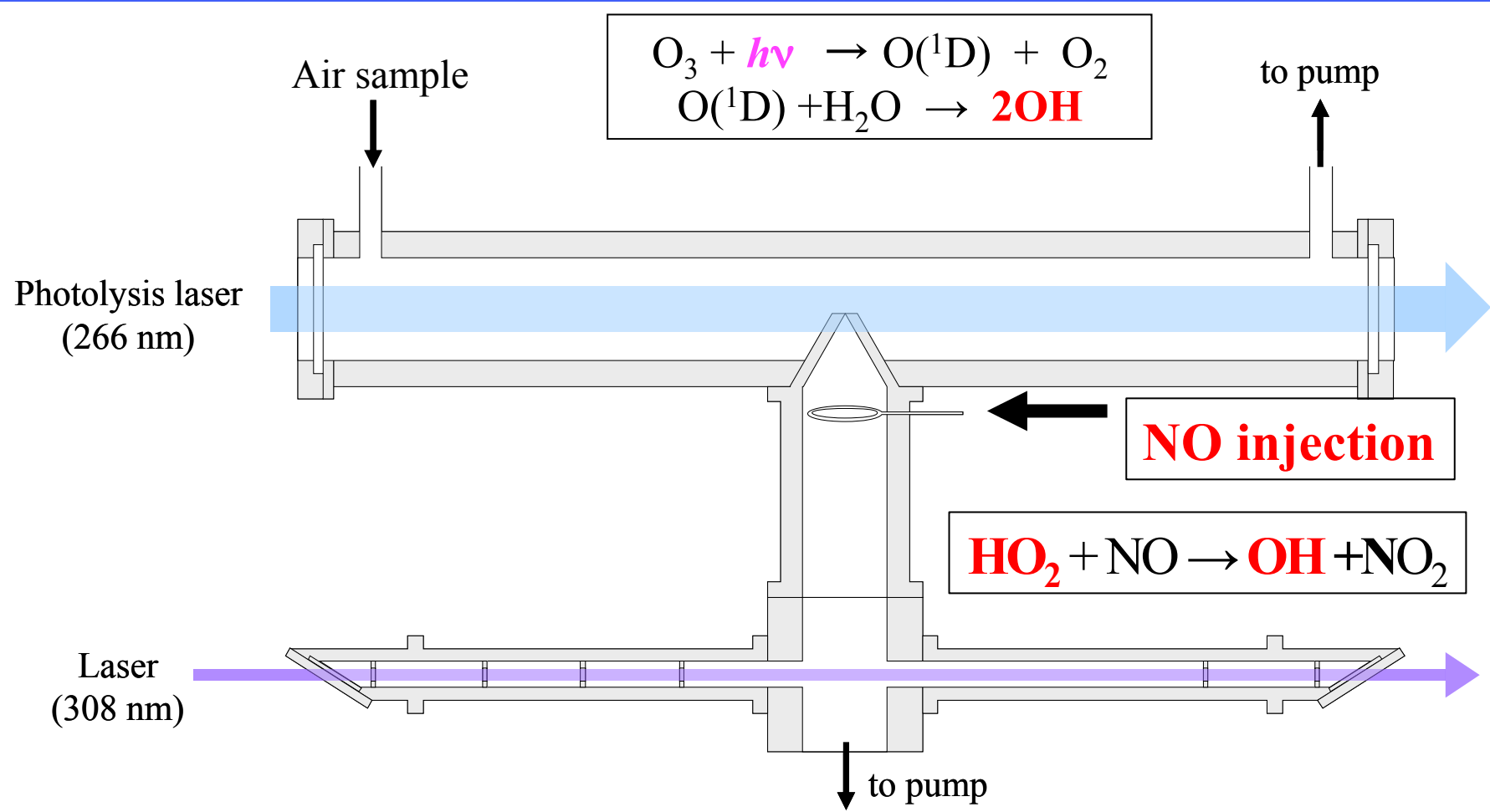
HO_xサイクルとHO_x収率



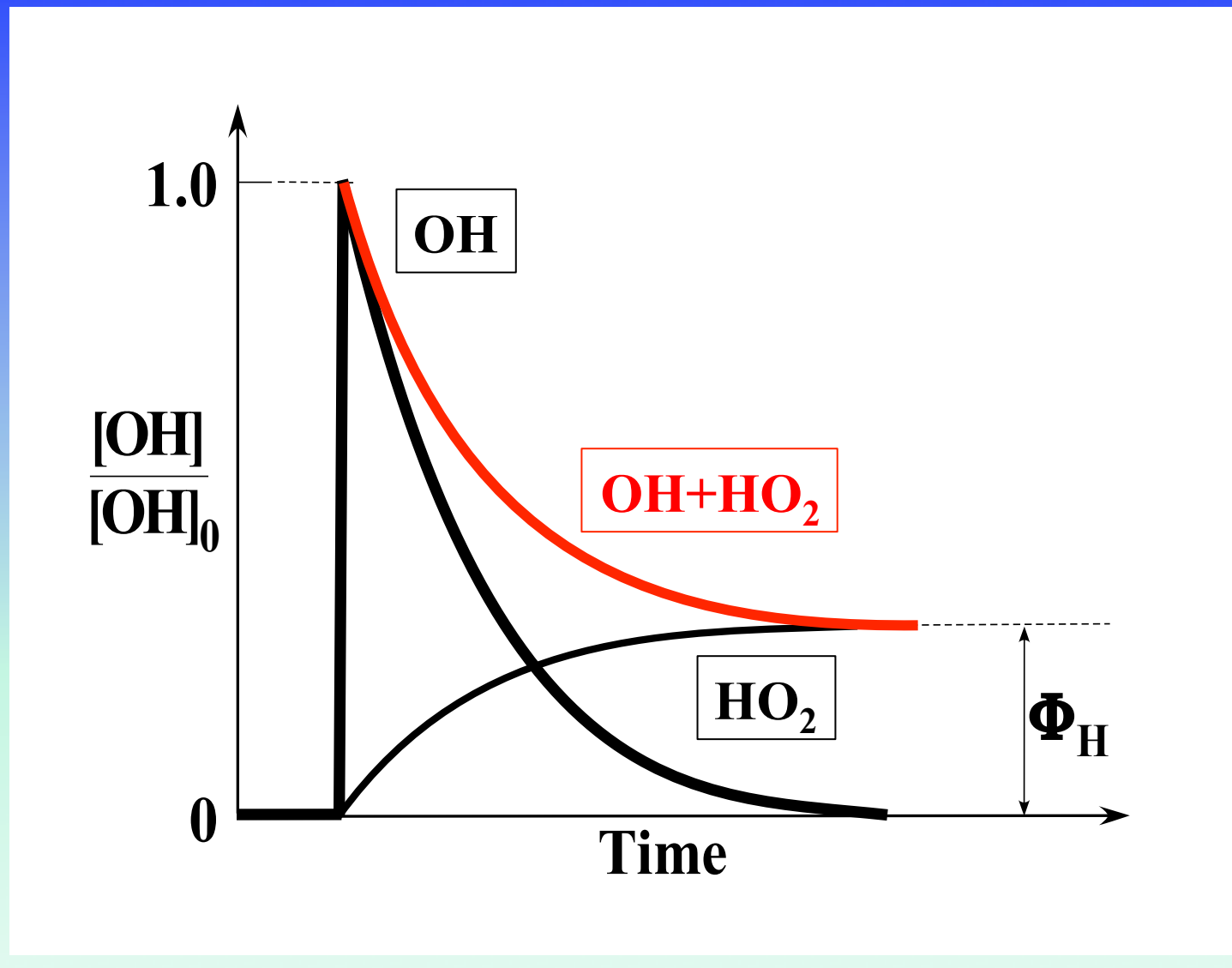
OH減衰とHO_x収率測定概念図



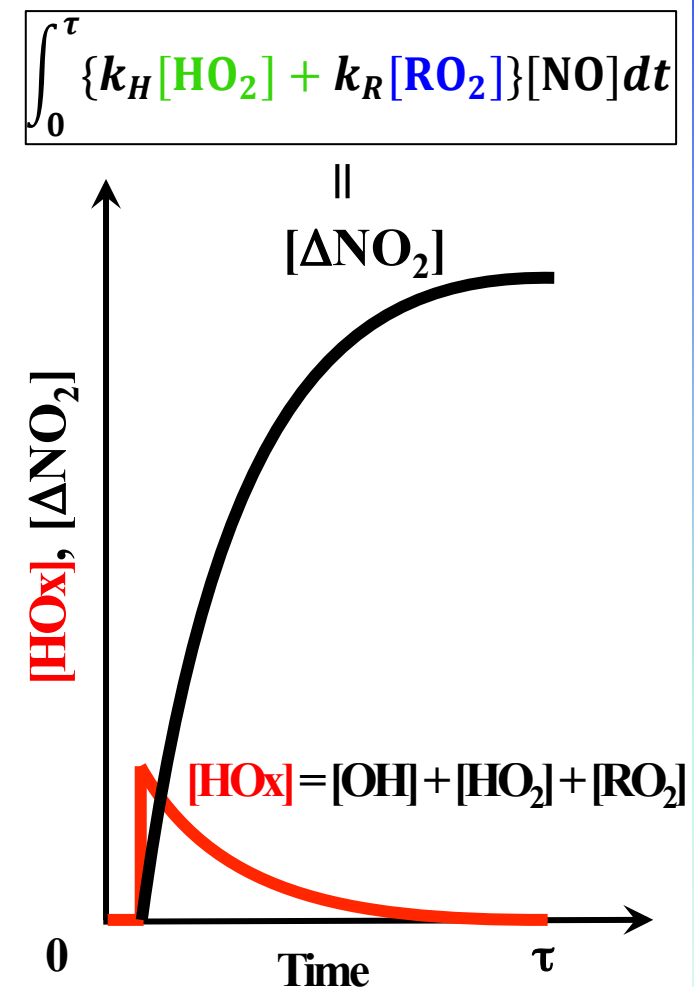
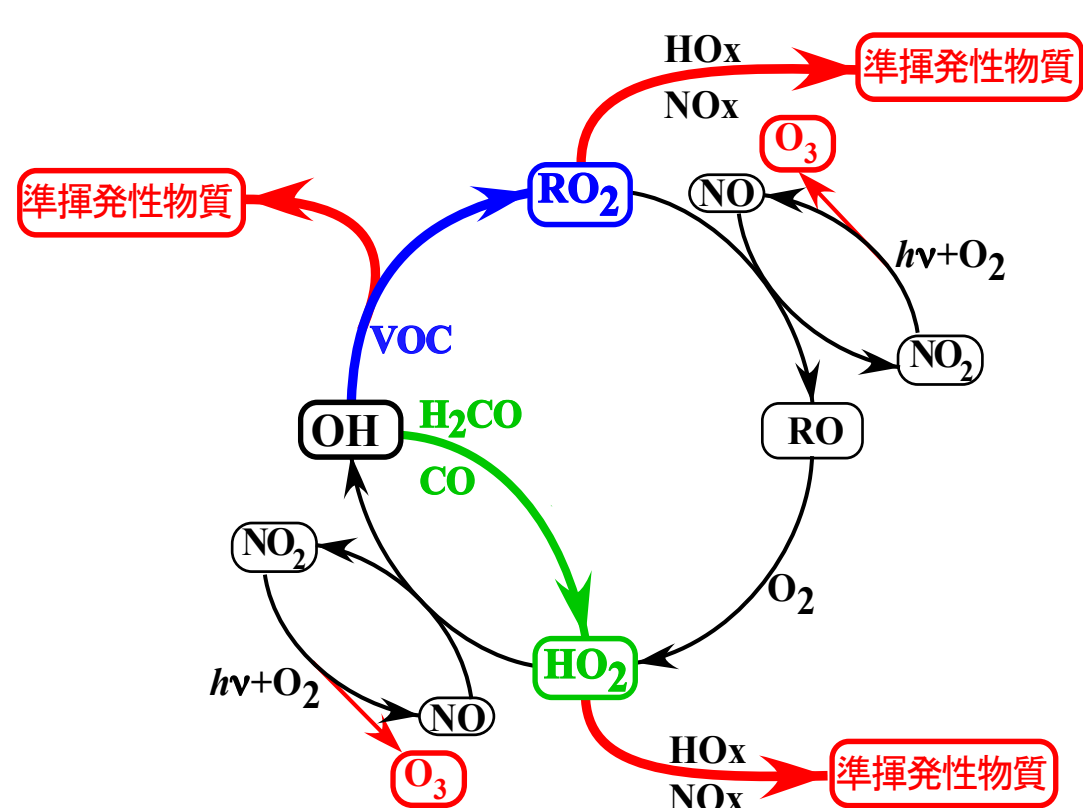
ポンプ・プローブ法によるHO₂生成収率測定



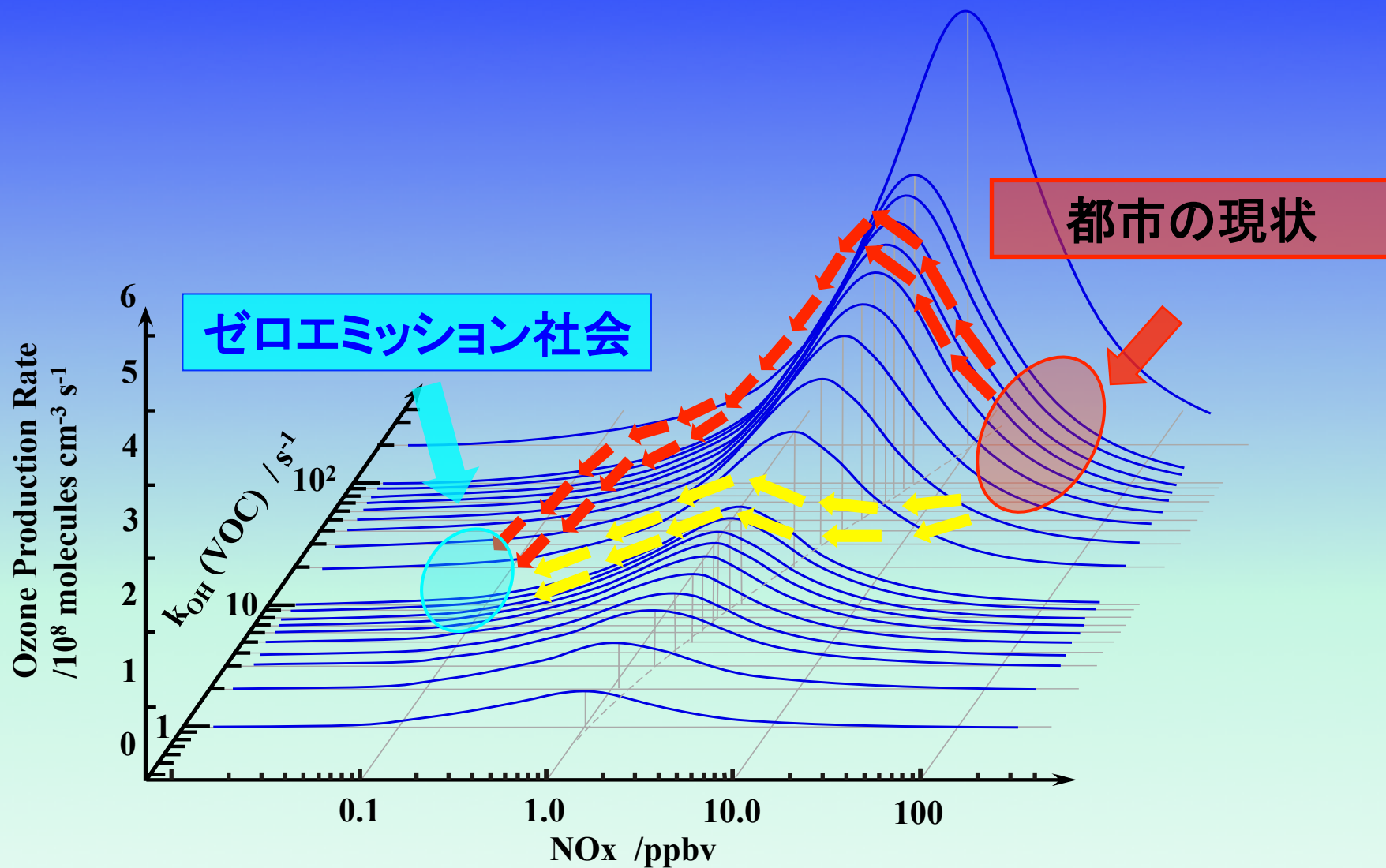
OH減衰とHO₂生成



HO_xサイクルとNO₂生成



オゾン生成速度とNO_x および VOCsの関係



Yoshizumi Kajii



Assis.Prof. Y.Sakamoto



Post Doc. Charlotte Jones



Post Doc. Akira Ida



**Assc. Prof. Shungo Kato
(TMU)**



**Res.Assc.Yoshi Nakashima
(TUAT)**



Post Doc. Hiroshi Tsurumaru



**PhD Ramasamy
Sathiyamurthi**



MsC Kazuhide Nagai



MsC 吳 偉嘉



MsC賈 天宇

